

## مطالعه وابستگی خطوط طیفی لیزر اتمی فلورور به فشار گاز و تحلیل سازوکار دمشن لیزر در فشارهای مختلف

محمدصادق زعفرانی<sup>\*</sup>، پرویز پروین<sup>\*</sup>، رسول صدیقی<sup>\*</sup>  
مرکز تحقیقات لیزر  
سازمان انرژی اتمی ایران

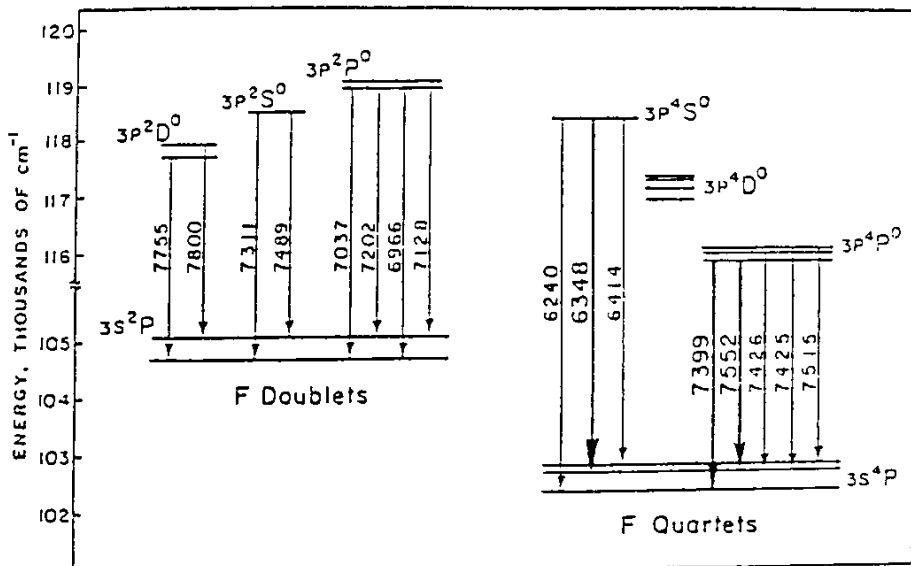
چکیده

در این آزمایش از سیستم تخلیه الکتریکی بلومین با ولتاژ کاری  $10-15\text{ kV}$  و سیستم پیش بونش  $55-65\text{ kV}$  همراه با عناصر کلیدزنی سریع (Hy-1102 EG&G) استفاده شده و دمشن سریع و پرتوان لیزر اتمی فلورور در مخلوط  $0/2\% \text{ F}_2$ - گاز  $\text{He}$  رقیق شده در فشار چند جو گاز هلیوم فراهم آمده است. در تمام موارد آزمایش تعداد خطوط طیفی و شدت نسبی آنها قویاً به فشار مخلوط گاز بستگی داشته است. با افزایش فشار گاز به حدود فشار جو و بالاتر، علاوه بر تغییرات چشمگیری که در جهت افزایش بهره و قدرت خروجی حاصل می‌شود، خطوط جدیدی نیز پدیدار و تقویت می‌شوند. این خطوط جدید لیزری، با خطوط مولفه‌های حالت دوتایی به دست آمده در فشارهای پایین متفاوت‌اند و به مولفه‌های حالت چهارتایی  $\text{P}^{\circ} \rightarrow 3\text{p}^{\circ}$  مربوط می‌شوند. دمشن لیزر فلورور در فشارهای پایین از طریق انتقال بار از بون  $\text{He}^+$  به بون  $\text{F}^-$  و تولید  $(3\text{p})^{\circ}$  صورت می‌گیرد. در فشارهای زیاد جو، امکان برخورد بونهای  $\text{He}^+$  با اتمهای  $\text{He}^+$  پیشتر است و بونهای  $\text{He}^+$  تولید می‌شود و این بونها در این حالت از طریق فرایند انتقال بار، نقش عملدهای در دمشن لیزر ایفا می‌کنند. برخلاف برخی گزارش‌های موجود، آزمایشها نشان می‌دهند که ترازهای بالایی مولفه‌های چهارتایی فلورور شامل خطوط  $\text{A}^{\circ} = 6240\text{ \AA}$ ،  $6248\text{ \AA}$  و  $6414\text{ \AA}$  نمی‌توانند توسط بونهای  $\text{He}^+$  دمیده شوند.

۲۷ گذار مختلف از مولفه‌های ساختار ریز بس - لاهای دوتایی و چهارتایی فلورور مجاز است [۲] و تاکنون حداقل ۱۶ گذار لیزری از این مولفه‌ها در بازه  $6240-7800\text{ \AA}$  مشاهده شده است [۱۹-۳]. لیزر اتمی فلورور در این بازه نسبتاً وسیع طیفی با تغییرات فشار گاز قابل تنظیم است و تقریباً در کلیه فشارها کار می‌کند. محیط فعال این لیزر را رقیق کردن یکی از دهنه‌های فلورور (مانند  $\text{NF}_2$ ,  $\text{HF}, \text{C}_2\text{F}_6$ ,  $\text{SF}_6$ ,  $\text{CF}_4$ ) در مخلوطی با فشار چند تور تا چندین جو گاز هلیوم به دست می‌آید. در شکل (۱) ترازهای انرژی و گذارهای لیزری اتم فلورور به طور طرح وارآمده است.

مقدمه  
لیزر اتمی فلورور اولین بار در سال ۱۹۷۰ توسط کواکس و اولتی با استفاده از سیستم دمشن تخلیه الکتریکی تپی در مخلوط گازی با فشار چند تور از  $\text{He}$  و  $\text{CF}_4$  ابداع شد [۱] و خطوط  $703/7$ ،  $712/8$  و  $720/2$  nm با عرض تپ حدود  $1\mu\text{s}$  و قله توان حدود  $150\text{ W}$  به دست آمد.

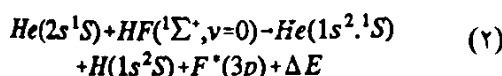
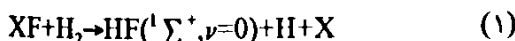
اتم فلورور پنج الکترون  $2\text{p}$  در لایه خارجی دارد. هر یک از این الکترونها که به تراز بالاتر  $3\text{p}$  برانگیخته شوند، در ترکیب با چهار الکترون دیگر، حالت‌های  $\text{S}$ ,  $\text{P}$  و یا  $\text{D}$  با اسپین کل متناظر با حالت‌های دوتایی یا چهارتایی را تشکیل می‌دهند. بنابر قاعدة انتخاب،



شکل ۱- نمودار طرح وار ترازهای انرژی و گذارهای لیزری اتم فلورور

مخلوط گاز (۱:۵۰۰) He:F<sub>۲</sub> با فشار کل چند تور گزارش شده و توان ۲۰۰ mW به دست آمده است [۱۸].

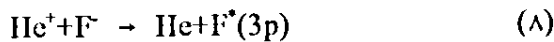
**سازوکار دمش لیزر اتمی فلورور**  
جفرز و ویسوال [۲] که عملکرد لیزر فلورور را با استفاده از مخلوط (۱:۶) He:HF گزارش دادند، سازوکار دمش آن را از طریق برخورد هلیوم برانگیخته به تراز نیمه پایدار S<sup>1/2</sup> با یک دهنده فلترور (مانند HF) توصیف کردند:



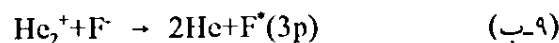
که در آن XF یک دهنده فلورور (مانند C<sub>2</sub>F<sub>6</sub>, CF<sub>4</sub>, SF<sub>6</sub>, NF<sub>3</sub>) است. اما بعداً معلوم شد که واکنشهای (۱) و (۲) تنها یک حالت خاص از دمش

در سال ۱۹۷۶ عملکرد لیزر اتمی فلورور با به کارگیری دمش الکترونی سریع توسط بیجو و بگلی [۶] وارد مرحله جدیدی شد و انگیزه ادامه تحقیقات بر روی این لیزر جالب توجه را تقویت کرد. در آزمایش آنها پنج خط مختلف لیزری در نزدیکی ۷۱۰ nm با عرض تپ ۲۰-۳۰ ns و قله توان ۷۰ kW به دست آمد. اولین آزمایشها فشار بالای این لیزر توسط لوری و زی [۸] با استفاده از سیستم پیش یونش UV و مخلوط ۱/۸ درصد F<sub>۲</sub> در He تا فشار حدود ۲ atm و نیز توسط لیزیتسین و رازف [۹] با استفاده از مخلوط (۱:۱۰) He:NF<sub>۳</sub> تا فشار ۴ atm انجام شد. مدتی بعد قله توان ۳۰۰ kW توسط گروه چاپسکی به دست آمد [۱۰]. عملکرد تپ بلند ( $\geq 100\mu s$ ) این لیزر با استفاده از سیستم کاتد میان تهی و ایجاد ناحیه پرتو منفی در مخلوط گازی با فشار چند تور از He:NF<sub>۳</sub> گزارش شد [۱۲] و امکان عملکرد پیوسته یا شبیه پیوسته این لیزر نیز مورد بررسی قرار گرفت [۱۵]. عملکرد موج پیوسته این لیزر در سال ۱۹۸۴ با استفاده از سیستم دمش باریکه الکترونی پر انرژی در

و  $F^-$  به نحو موثری جفت شود [۲۰]. این مطلب به طور تجربی نیز مورد تائید قرار گرفت [۱۴]. میلر و مورگنر در عرض، سطح مقطع نسبتاً "بزرگی برای واکنش زیر پیش بینی کردند.

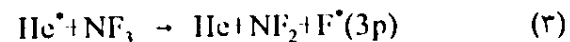


از طرف دیگر کالیتز و همکارانش [۱۶] در فشارهای زیاد جو ارتباطی قوی بین جمعیت یونهای  $He_2^+$  ایجاد شده توسط باریکه الکترونی پر انرژی از یکسو و شدت گسیل خود به خودی مولفه های حالت چهارتایی  $3s^1P^0_{1/2} \rightarrow 3s^1P^0_{3/2}$  و  $3p^1P^0_{1/2} \rightarrow 3p^1P^0_{3/2}$  فلوئور اتمی از سوی دیگر مشاهده کردند. آنها پیشنهاد کردند که واکنش (۹) متحملترین سازوکار دمش لیزر اتمی فلوئور در فشارهای زیاد جو است.

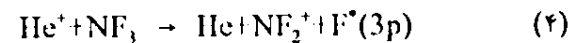


واکنش (۹ - ب) یک فرایند انتقال بار را توصیف می کند که در آن ابتدا یک الکترون  $2p$  یون  $F^-$  به یون  $He_2^+$  منتقل و سپس الکترون دیگر با انرژی اضافی موجود به تراز  $3p$  برانگیخته می شود. در شکلهای (۲) و (۳) سازوکار دمش لیزر اتمی فلوئور به طور طرحوار آمده و فرایندهای اتصالی و واهلشی نیز مشخص شده است [۱۹]. در فشارهای پایین، سازوکار دمش متفاوت است و واکنش (۸) متحملترین سازوکار را تشکیل می دهد. به عبارت دیگر، دمش لیزر در فشارهای پایین از طریق انتقال بار از یون  $He^+$  به یون  $F^-$  و تولید  $(3p)F^*$  صورت می گیرد. یونهای  $F^-$  از تجزیه دهنده های فلوئور در برخوردهای الکترونی تولید می شوند. از این طریق، بیشتر انرژی دمش صرف جمعیت دارکردن تراز بالایی بس - لای

لیزر فلوئور است، زیرا این واکنشها مستلزم حضور  $He_2$  است که جزء ضروری این سیستم لیزری به شمار نمی رود. لاولر و همکارانش [۱۴] ضمن تأکید بر این مطلب که هلیوم به هر حال جزء ضروری این سیستم لیزری است، با اندازه گیری حد فرقانی آهنگ واهلش برخوردهای هلیوم ( $2^1S$ ,  $2^3P$  و  $2^1P$ ) نشان دادند که انتقال انرژی از هلیوم برانگیخته خشی به  $He:NF_2$  نمی تواند سازوکار دمش لیزر را در مخلوط  $He:NF_2$  تشکیل دهد:

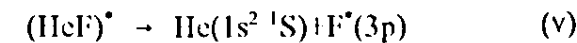


آنها امکان واکنش زیر را نیز غیر محتمل دانستند.



زیرا این واکنش گرماگیر است و با حداقل انرژی در دسترس که حدود  $10/2 \text{ eV}$  است تولید  $(3p)F^*$  با انرژی  $14/75 \text{ eV}$  امکان پذیر نخواهد بود.

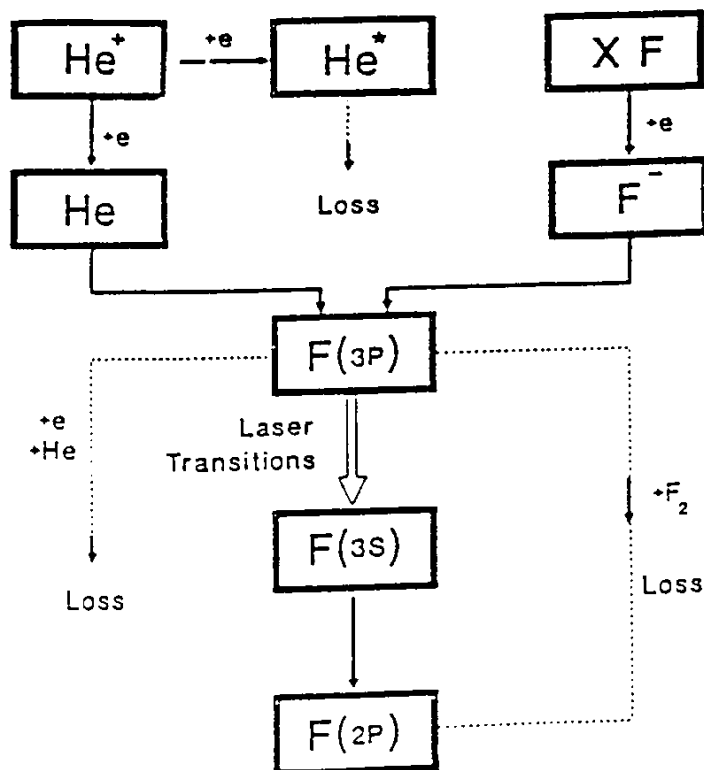
در سال ۱۹۷۶، هوکر و فی [۷] فرض کردند که دمش لیزر فلوئور از طریق تجزیه اکسایمر  $(HeF)^*$  به حالت پایه هلیوم و حالت برانگیخته فلوئور  $(3p)F^*$  انجام می شود. بر طبق نظر هوکر، اکسایمر  $(HeF)^*$  از تلفیق اتم فلوئور در حالت پایه و اتم هلیوم برانگیخته به تراز  $S^1$  یا  $P^1$  تشکیل می شود.



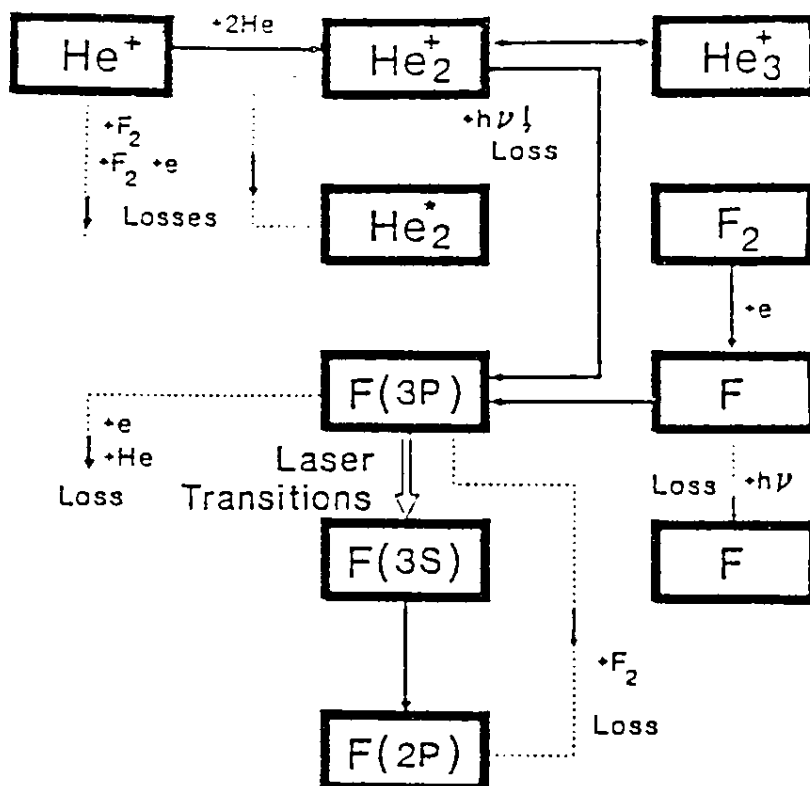
اما مدل نظری میلر و مورگنر نشان داد که بخش جاذب منحنی پتانسیل  $(HeF)^*$  نمی تواند با کانال ورودی  $He^*$

$6248\text{\AA}$  →  $2s^1S^0$  (شامل خطوط طیفی  $6240\text{\AA}$ )  
 و  $6212\text{\AA}$  متعلق به بس - لای چهارتایی فلورور  
 نمی توانند توسط یونهای  $\text{He}^+$  دمیده شوند زیرا شدت  
 خطوط لیزری حاصل از آنها در فشارهای زیاد جو با  
 افزایش فشار کاهش می یابد و به تدریج به صفر  
 می رسد.

دروتایی فلورور( $2s^1P$  →  $2s^1S^0$ ,  $2p^1P^0$  →  $2s^1P^0$ ,  $2p^1S^0$  →  $2s^1P^0$ ) می شود. اما در فشارهای زیاد جو  
 امکان برخورد یونهای  $\text{He}^+$  با اتمهای  $\text{He}$  بیشتر  
 است و یونهای  $\text{He}^+$  تولید می شوند که قبل از  
 این تجربه تصور می شد دمش کلیه خطوط  
 حالتای چهارتایی فلورور( $2s^1P$  →  $2p^1P^0$ ,  $2p^1S^0$  →  $2s^1P^0$ ) را بر عهده دارند. ناکنون برای  
 خطوط متعلق به مولفه های بس - لای چهارتایی  
 رفتار متفاوتی گزارش نشده است. مادر آزمایش های  
 مکرر خود بدین نتیجه رسیدیم که مولفه های



شکل ۲- نمودار طرح وار سازوکار دمش لیزر اتمی فلورور در فشارهای پایین



شکل ۲- نمودار طرح‌دار سازوکار دمش لیزر اتمی فلورور در فشارهای زیاد

می‌شود که توانایی ایجاد تپهای بزرگ جریان را در زمانهای بسیار کوتاه داراست [۲۱]. این سیستم شامل یک کلیدزنی سریع و لتاژ بالا (تایروترون هیدروژنی EG&G Hy-1102) و خازنهای صفحه‌ای بزرگ (خطوط انتقال صفحه‌ای) با خودالقابی بسیار کم و با ظرفیتهای  $14\text{nF}$  و  $10/8\text{nF}$  است. تخلیه الکتریکی در این سیستم به صورت عرضی است و با لتاژ شارژ  $15-10\text{kV}$  در فشارهای گاز تا چندین جو قابل اجراست. خیزش تپ جریان در کانال تخلیه بسیار سریع و در حدود  $2-3\text{nsec}$  است [۲۲]. الکترودها از جنس آلمینیوم و به طول  $55\text{ cm}$  انتخاب شده‌اند و به فاصله  $1\text{ cm}$  از یکدیگر قرار دارند.

برای این که سیستم دمش تخلیه الکتریکی بلومین بتواند در فشارهای زیاد جو عمل کند و برای اجتناب از

وسایل و تجهیزات آزمایش به دلیل مبل ترکیبی شیمیایی شدید فلورور، جنس محفظه لیزر از نفلون (PTFE) انتخاب شده است. نفلون نه تنها قدرت تحمل و لتاژهای خوبی بالا را دارد و در فشارهای چندین جو از استحکام خوبی برخوردار است، بلکه در مقابل اثر خورندگی گاز فلورور نیز بسیار مقاوم است. برای ساخت محفظه لیزر، بر روی قطعه مکعب مستطیبلی از نفلون به ابعاد  $5\text{ cm} \times 10 \times 68$  کاتالی به ابعاد  $2/5\text{ cm} \times 5 \times 62$  ایجاد شده است [۲۳]. پنجره‌های لیزر از جنس  $\text{MgF}_2$  انتخاب شده و آینه‌ای با پوشش آلمینیومی به عنوان آینه عقب از خارج بر روی یکی از پنجره‌های آن نصب شده است. دمش الکتریکی لیزر توسط سیستم بلومین انجام

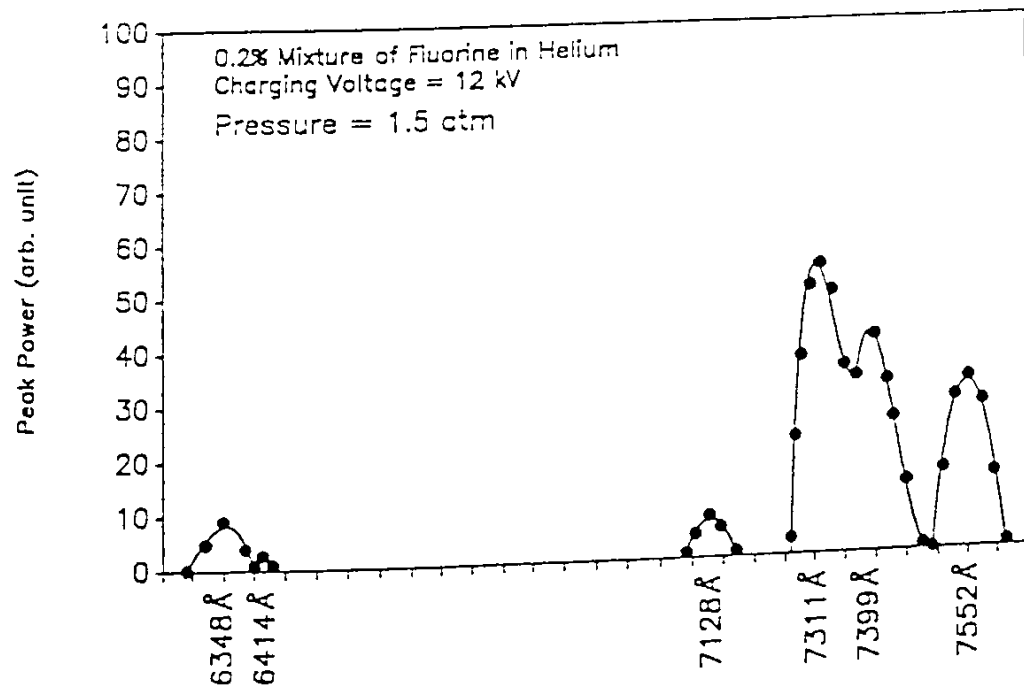
**P-I-N EG&G-FND 100 آشکارساز نیمهرسانای**  
 با پاسخ سریع و نوسان نمای نکترونیکس  
 با  $400 \text{ MHz}$  Plug in ۷A & ۷B ۹۲A همراه  
 با دوربین عکسبرداری انجام شده و برای جداسازی  
 خطوط لیزر از تکفام ساز منشوری WDG۳۰ مجهز  
 به شمارگر طول موج استفاده شده است [۲۴]. به  
 منظور جلوگیری از هرگونه اختلال ناشی از نونه  
 سیستم‌های مجاور، کل سیستم آشکارسازی و  
 اندازه‌گیری در داخل محفظه‌ای با پوشش الومینیوم  
 قرار داده شده است.

#### نتایج مشاهدات تجربی

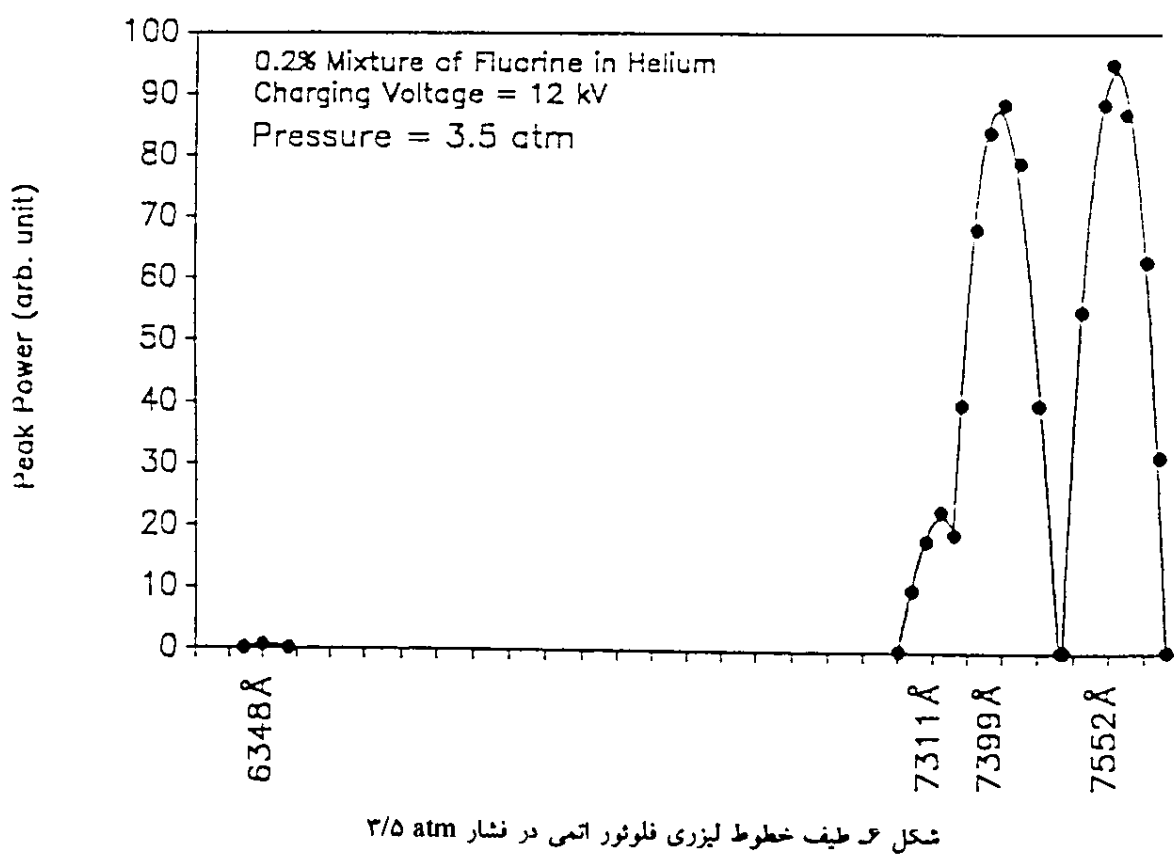
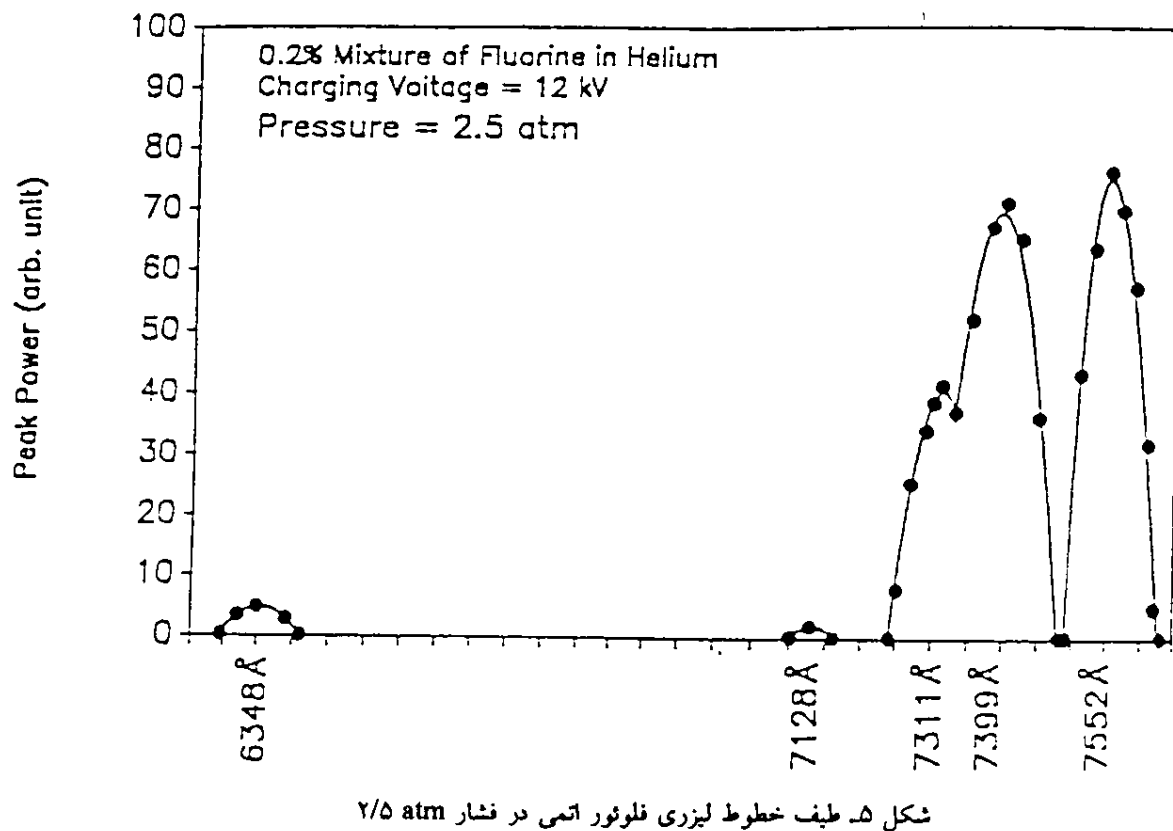
در آزمایش‌های متعددی که با استفاده از نوسانگر  
 لیزر انجام شد، خطوط مختلف لیزری حالت‌های دوناتی  
 و چهارتالی فلورین اتمی با استفاده از مخلوط  $20\%/\text{He}$   
 گاز  $F_2$  رقیق شده در هلیوم به دست آمد. در  
 شکلهای (۴، ۵ و ۶) طیف خطوط به دست آمده از  
 نوسانگر لیزر اتمی فلورین در ولتاژ شارژ  $12\text{kV}$  و به  
 ازای سه فشار مختلف رسم شده است.

به کار بردن ولتاژ‌های بسیار زیاد که به کارالی گاز لطیف  
 می‌زند و فرایندهای سیستمک آن را مختل می‌کند و به  
 خاطر حفظ یکتواختن تخلیه، لازم است از یک سیستم  
 پیش یونش مناسب استفاده شود. این سیستم با فراهم  
 آوردن ولتاژ ضربهای  $55-65\text{kV}$  از طریق یک الکترود  
 خارجی، هالة ضعیفی در محیط فعال لیزرایجاد  
 می‌کند و پاگیری (امبدانس) آن را کاهش می‌دهد  
 تاسیط ولتاژ شکست به طور نسبی تنزل یابد و محیط  
 لازم برای تخلیه الکتریکی یکتواخت و بدون جرقه آماده  
 شود. الکترود پیش یونش در بالای محفظه لیزر روی  
 خط مرکزی به موازات الکترودهای اصلی تخلیه نصب  
 شده است. سیستم پیش یونش شامل یک مولد تپی  
 ولتاژ بالاست که شبیه مولد مارکس عمل می‌کند و  
 دارای دو خازن ( $C_s=25\text{nF}$ ,  $C_r=2\text{nF}$ ), یک تایروترون  
 هیدروژنی (Hy-1102 EG&G)، و شش کابل موجبر هم  
 محور (RG-218/U) به طول  $10\text{m}$  و با پاگیری  
 مشخصه  $\Omega = 50$  است.

آشکارسازی و اندازه‌گیری تپهای سریع لیزر با  
 عرض حدود  $8\text{ns}$  و بسامد تکرار  $1-3\text{Hz}$ ، توسط



شکل ۴- طیف خطوط لیزری فلورین اتمی در فشار  $1/5 \text{ atm}$



شکل (۱۰) تغییرات قله توان کل لیزر اتمی فلورور را بر حسب تغییرات فشار و به ازای چند ولتاژ شارژ مختلف نشان می‌دهد. منحنی تغییرات قله توان کل بر حسب تغییرات ولتاژ شارژ سیستم به ازای چند فشار مختلف در شکل (۱۱) نشان داده شده است. همان طور که مشاهده می‌شود در محدوده ولتاژ شارژ  $10\text{-}14 \text{ kV}$ ، توان کل لیزر به ازای یک فشار ثابت با افزایش ولتاژ به طور خطی افزایش می‌یابد.

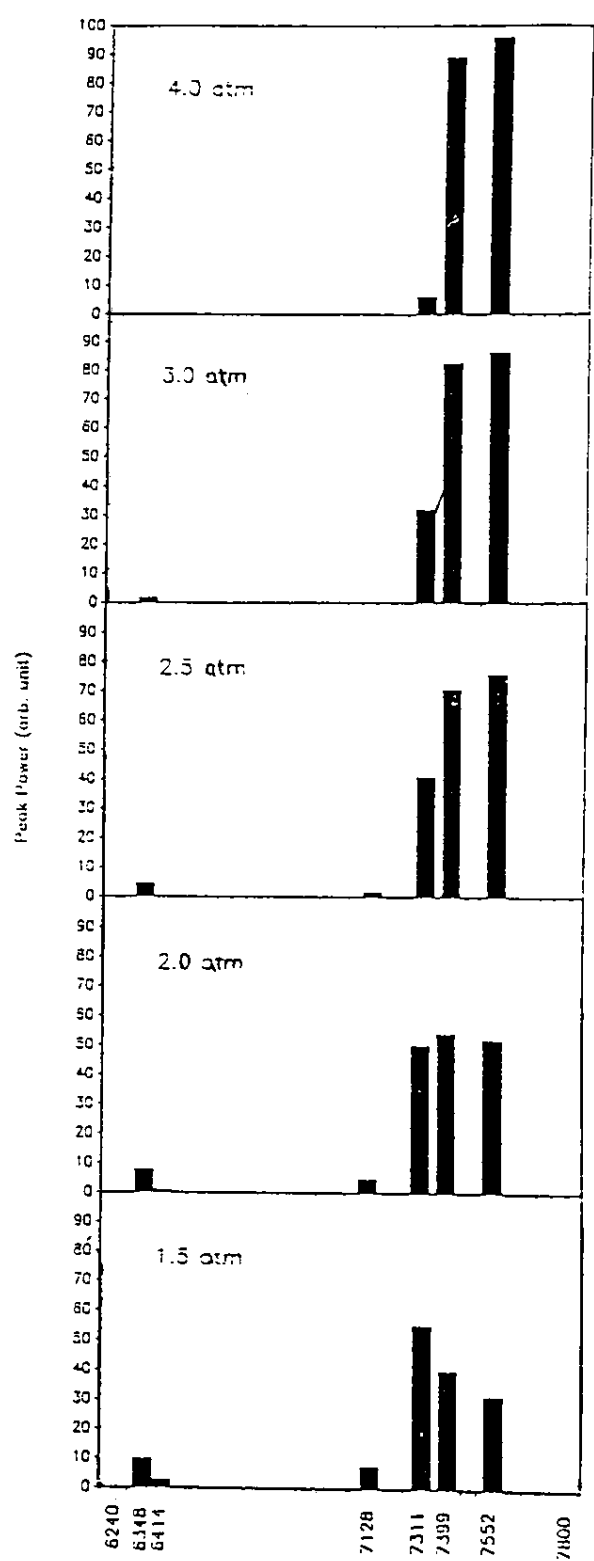
### نتیجه گیری

نتایج حاصل از این پژوهه دستاوردهای نظری و تجربی آزمایشها پیشین برروی لیزر اتمی فلورور را تصحیح و تکمیل می‌کند. آزمایشها نشان می‌دهند که اولاً سازوکار دمش این لیزر در فشارهای بالا با سازوکار دمش در فشارهای پایین تفاوت دارد. به طوری که در فشارهای بالا دمش لیزر عمده‌تر از طریق فرایند انتقال بار از بونهای  $\text{He}_e^+$  صورت می‌گیرد، و ثانیاً ترازهای بالایی مولفه‌های  $\text{P}^{2S^+} \rightarrow 2p^{\circ S^-}$  بس - لای چهارتایی فلورور شامل خطوط  $6240 \text{ Å}$ ،  $6414 \text{ Å}$  و  $6424 \text{ Å}$  نمی‌توانند توسط بونهای  $\text{He}_e^+$  دمیده شوند، زیرا شدت خطوط لیزری حاصل از آنها در فشارهای زیاد جو با افزایش فشار کاهش می‌یابد و به تدریج به صفر می‌رسد.

لیزر اتمی فلورور به دلیل قدرت خروجی بالا، علاوه‌بر کاربردهای فوتوشیمیایی، برای دمش لیزرهای رزینه‌ای فروسرخ نزدیک نیز مناسب است. این سیستم لیزری همچنین به دلیل دارا بودن قابلیت دمش سریع و بر توان و نیز مقاوم بودن در مقابل اثر خورندگی هالوژنهای، برای دمش کلیه لیزرهای گروه اکسایمر مناسب است [۲۵] و [۲۶].

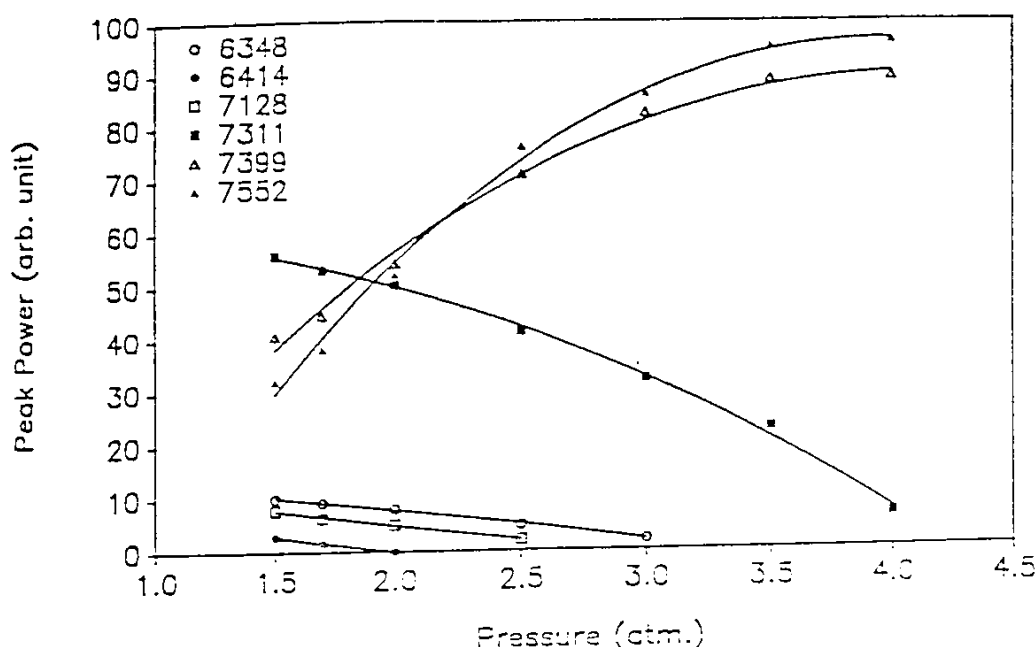
همان طور که در شکلها مشاهده می‌شود، شدت خطوط دوتایی  $7128 \text{ Å}$  و  $7311 \text{ Å}$  و نیز شدت خطوط چهارتایی  $6414 \text{ Å}$  و  $6240 \text{ Å}$  با افزایش فشار گاز کاهش می‌یابد، در حالی که شدت خطوط چهارتایی  $7399 \text{ Å}$  و  $7552 \text{ Å}$  افزایش می‌یابد. شکل (۷) همین نتایج را به ازای پنج فشار مختلف نشان می‌دهد. این نتایج از طرفی گزارش لیزیتسین و رازف [۹] را در مورد این که در فشارهای بالاتر از  $4 \text{ atm}$  فقط دو خط لیزری  $7399 \text{ Å}$  و  $7552 \text{ Å}$  حضور دارند، تایید می‌کند و از طرف دیگر در حقیقت تصحیحی بر گزارش‌های قبلی است [۸]، [۱۱]، و برای اولین بار منحنی تغییرات شدت خطوط لیزری فلورور اتمی را بر حسب تغییرات فشار کل گاز تا  $4 \text{ atm}$  به دست می‌دهد. شکل (۸) نمودار این تغییرات را برای مخلوط  $0.6\% \text{ F}_2$  در هلیوم و به ازای ولتاژ شارژ  $12 \text{ kV}$  نشان می‌دهد. این نمودار، نتایج مشاهدات هوکر و فی [۷] در فشارهای پایین را تکمیل می‌کند.

مجموع خطوط لیزری فلورور اتمی به دست آمده در فشارهای زیاد جو، خروجی پر توانی را تشکیل می‌دهد که به علت بهره بالای لیزری استفاده از کاواک تشديد را برای عملکرد این لیزر غیر ضروری می‌سازد. در توافق با نتایج کار محققان ژاپنی [۱۱]، تفاوتی در الگوی خروجی لیزر بین تابش ابرتابندگی و تابش حاصل از کاواک مشاهده نمی‌شود. بهنای تپ خروجی لیزر (FWHM) در تمام موارد آزمایش تقریباً ثابت و حدود  $8 \text{ ns}$  بوده است. شکل (۹) تپ مجموع خطوط لیزر را که در ولتاژ شارژ  $12 \text{ kV}$ ، بسامد  $1/5 \text{ Hz}$  و به ازای فشار کل  $2/5 \text{ atm}$  به دست آمده است، با تضعیف شدت حدود  $1/5\%$  شدت ورودی آشکارساز ( $NDF = 10\% \times 30\% \times 10\%$ ) نشان می‌دهد.

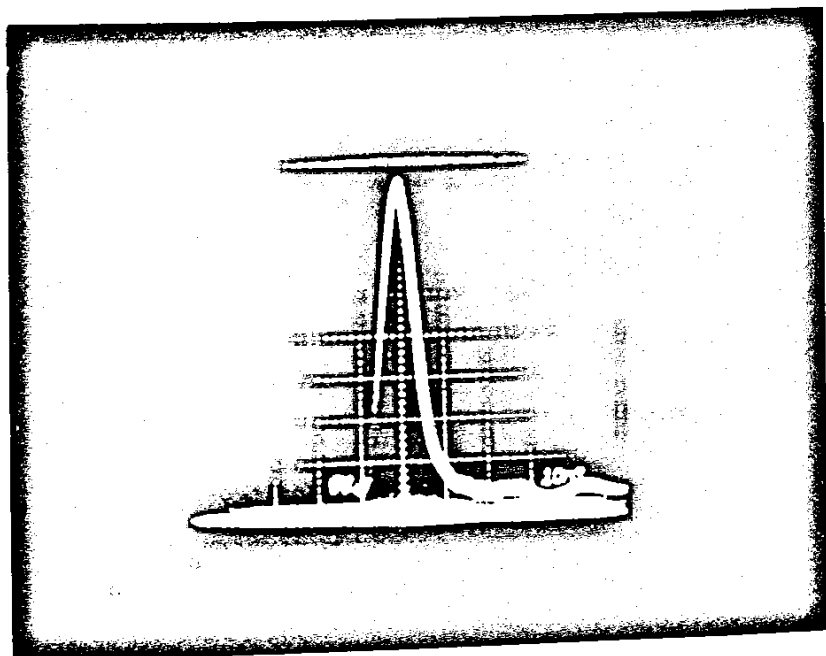


شکل ۷- تغییرات شدت خطوط لیزری فلوئور اتمی به ازای فشارهای مختلف

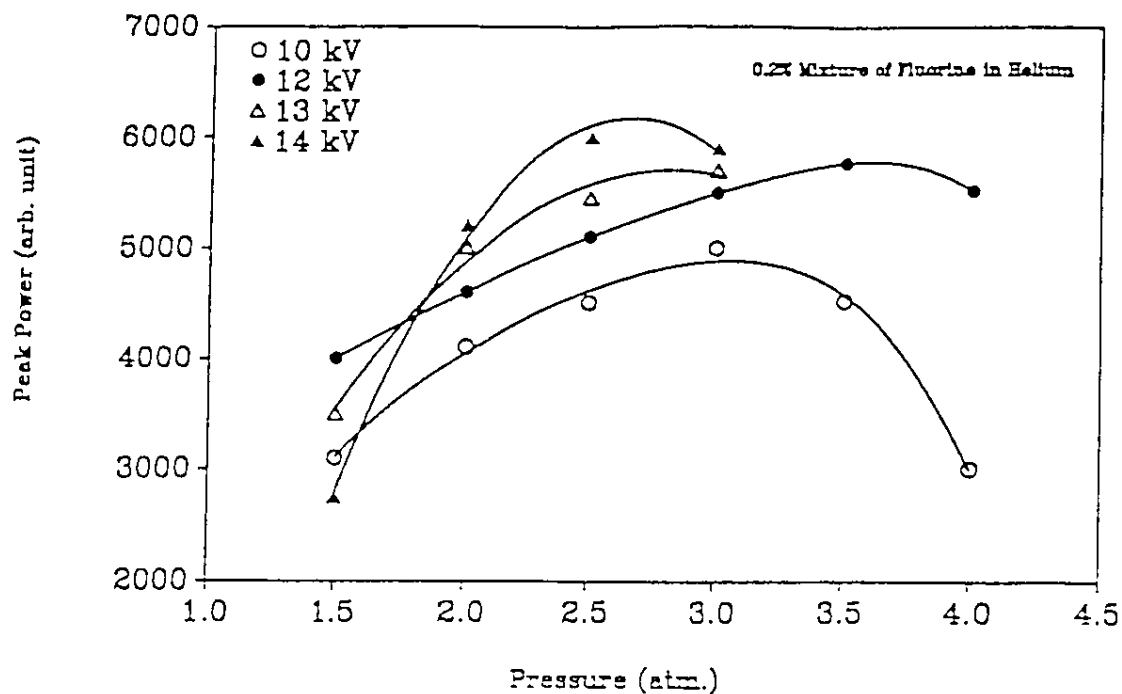
محمدصادق زعفرانی و همکاران، مطالعه و پیشگیری خطر طیفی لیزر اتمی فلورور به فشار گاز و تحلیل سازوکار دمش لیزر در فشارهای مختلف



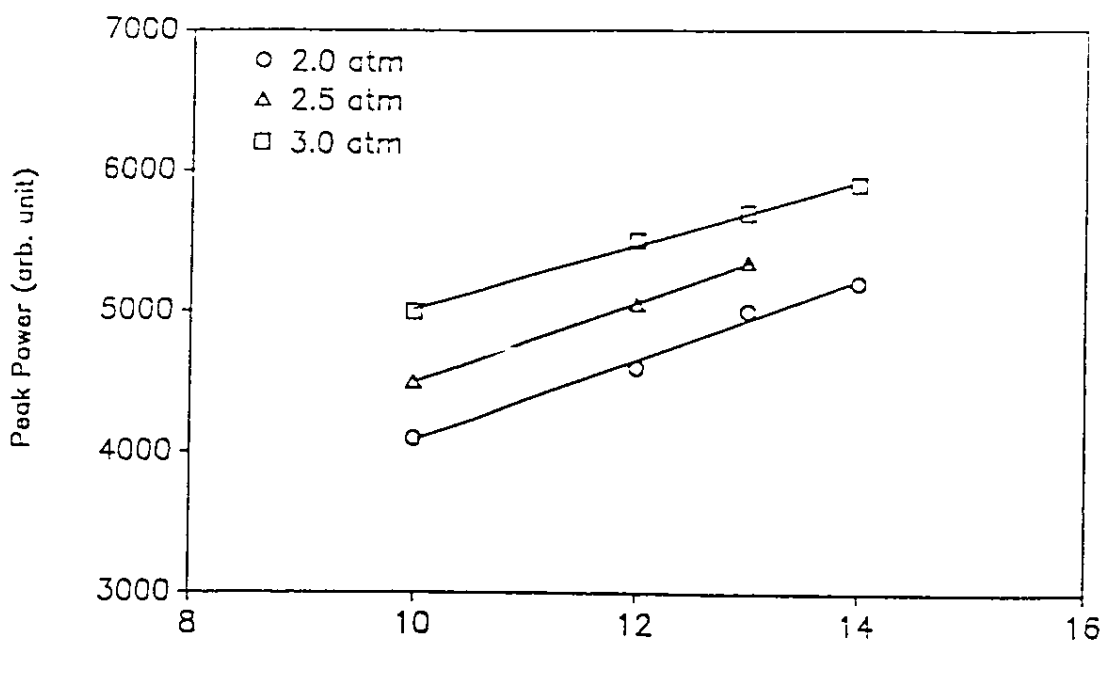
شکل ۸- منحنی تغییرات شدت خطوط لیزری فلورور اتمی بر حسب تغییرات فشار گاز



شکل ۹- تپ مجموع خطوط لیزر اتمی فلورور در فشار  $2/5 \text{ atm}$



شکل ۱۰- منحنی تغییرات نوان کل لیزر اتمی فلوئور بر حسب تغییرات فشار



شکل ۱۱- منحنی تغییرات نوان کل لیزر اتمی فلوئور بر حسب تغییرات ولتاژ شارژ

## References

1. M.A. Kovacs and C.J. Ultee, *Appl. phys. Lett.* 17,39 (1970).
2. C.B. Moore, *Atomic Energy Levels* (National Bureau of Standards Circular, 1949), Vol.1
3. W.Q. Jeffers and C.E. Wiswall, *Appl. Phys. Lett.* 17,444 (1970).
4. A.E. Florin and R.J. Jensen, *IEEE J. Quant. Electron.* QE-7, 472 (1971).
5. D.G. Sutton, L. Galvan, P.R. Valenzuela, and S.N. Suchard, *IEEE J. Quant. Electron.* QE-11, 54 (1975).
6. I.J. Bigio and R.F. Begley, *Appl. Phys. Lett.* 28, 263 (1976).
7. L.O. Hocker and T.B. Phil, *Appl. Phys. Lett.* 29, 493 (1976).
8. T.R. Lorce and R.C. Sze, *Opt. Commun.* 21, 255 (1977).
9. V. N. Lisitsyn and A.M. Razhev, *Sov. Tech. Phys. Lett.* 3(9), 350 (1977).
10. P.L. Chapovsky, S.A. Kochubei, V.N. Lisitsyn, and A.M. Razhev, *Appl. Phys.* 4,231 (1977).
11. S. Sumida, M. Obara, and T. Fujioka, *J. Appl. Phys.* 50, 3884 (1979).
12. A. Rothem and S. Rosewaks, *Opt. Commun.* 30, 227 (1979).
13. J. K. Crane and J.T. Verdeyen, *J. Appl. Phys.* 51(1), 123 (1979).
14. J.E. Lawler, J.W. Parker, L.W. Anderson and W.A. Fitzsimmons, *IEEE J. Quant. Electron.* QE-15, 609 (1979).
15. O.G. Bespalov, V.V. Veselovskii, A.I. Nastyukha, & O.A. Kushlyanskii, *Sov. Tech. Phys. Lett.* 6(12), 640 (1980).
16. C.B. Collins, F.W. Lee, and J.M. Carroll, *Appl. Phys. Lett.* 37, 857 (1980).
17. R. Sadighi-Bonabi, F.W. Lee, and C.B. Collins, *J. Appl. Phys.* 33, 3418 (1982).
18. J.J. Rocca, J.D. Meyer, B.G. Pihlstrom, and G.J. Collins, *IEEE J. Quant. Electron.* QE-20, 6, 625 (1984).
19. R. Sadighi-Bonabi, *Proceedings of The 7th International Congress, Laser & Optoelectronics*, 771-782 (1985).
20. W.H. Miller and H. Morgner, *J. Chem. Phys.* 67, 4923 (1977).
21. P. Parvin, M.S. Zaeferani, A. Zare, and R. Sadighi, "Simulation of Electric Discharge in a Blumlein Pumping Circuit", *Proceedings of International Conference on Electrical Engineering*, Amirkabir University, May (1993).
22. P. Parvin, Etol, "Computer Simulation of Nitrogen Laser", *Proceedings of the 2nd International Conference on Lasers and their Applications*, AEOI, August (1993).
23. M.S. Zaeferani, P. Parvin, and R. Sadighi, "Fabrication and Optimization of Series Oscillator-Amplifier of an Atomic Fluorine Laser", *Abstracts of Annual Physics Conference of Iran*, Kordestan University, August (1994).

24. M.S. Zaeferani, P. Parvin, and R. Sadighi, "Pressure Dependence of Spectral Lines of a High Power High Pressure Atomic Fluorine Laser", Journal of Optics & Laser Technology, Vol. 28, No. 3, PP. 203 - 205, April (1996).
25. P. Parvin, M.S. Zaeferani, and R. Sadighi, "Intense Blue - Green XeF (C → A) Laser Radiation for Transmitting Communication Signals to Submerged Submarines", Proceedings of International Conference on Telecommunications, Istanbul, Turkey, April (1996).
26. P. Parvin, M.S. Zaeferani, and R. Sadighi, "Measurement of the Small Signal Gain and Saturation Intensity of XeF Discharge Laser", Accepted for Publication by the Optical Society of America, Applied Optics, Vol. 36/No. 6/20 Feb (1997).

**PRESSURE DEPENDENCE OF THE SPECTRAL LINES OF AN ATOMIC FLUORINE LASER  
AND THE PUMPING MECHANISMS**

M.S. Zaeferani, P. Parvin and R. Sadighi  
Laser Research Center  
Atomic Energy Organization of Iran

**Abstract**

An atomic fluorine laser was operated over a wide range of pressures and the total of six intense lines were observed with nearly the same pulse width of 8 nsec for various gas pressures. It was found that the number of the lasing lines strongly depends upon the pressure. At high pressure, the intensity of two quartet lines, 6348 and 6414 Å, like that of the doublet lines, decreases with increasing the total pressure, and the laser transitions are mainly in two quartet lines, 7399 and 7552Å. The pumping mechanisms at high pressures appear to be different from those of relatively low pressures.